

佐世保重工〇正員 五反田 道

熊本大学 正員 吉村 虎蔵

まえがき

鋼材性能の向上・構造解析技術の進歩により、従来より巾貫にくらべ支間の大きい、いわゆるスレンダーなランガー橋が多く建設されるようになった。スレンダーなランガー橋は、面内の剛性にくらべ面外の剛性が小さくなりやすいので、設計においては面外振動や面外座屈など、いわゆる面外固有値の検討が重要になる。このうち面外座屈については道路橋示方書にも規定があるが、補剛桁や吊材の剛性は考慮できない。また、アーチ橋の面外座屈については翁西^{*1}、深沢^{*2}、崎山^{*3}らの研究があるが、これらはいずれもアーチのみと単独に取扱ったもので、アーチと同程度以上の面外剛性のある補剛桁を持ち、吊材で剛結されているランガー橋に、これら研究をそのまま準用するのは問題があると考えられる。すなわち、大坂ら^{*4}は骨組の立体座屈解説プログラムを開発しこれをモノコードランガー橋へ適用したところ、従来の計算式による座屈荷重の約3倍もの値が得られ、これら剛性の寄与の大きいことを報告している。

本文は、まっすぐな補剛桁と曲線桁とみなしたアーチのそれぞれの影響係数を別々に求め、吊材変形の適合条件によりこれらを結合してランガー橋の面外固有振動数または面外座屈荷重を求める方法を示すもので、取扱うマトリックスの次数が中間節点の数だけと比較的小さくてすむ利点がある。

なお、理論においては逆ランガー橋の面外振動について述べるが、下路・中路の場合、面外座屈の場合についても全く同様な手法で解析することができる。

I 理 論

図-1に示す单支間の逆ランガー橋を考える。第*i*断面の上格点には、格点死荷重*W_i*が作用し死荷重モーメント*M_i*を生じており、下格点には不静定水平力*H*に相当する軸力を生じてつり合っているものとする。

いま、第*i*断面に図-2に示すような微小変形を与える、この間、荷重および断面力は変化しないとすると、*W_i*、*M_i*、*H*はこの変形に関与する成分をもつようになる。これら成分の大きさは、例えば、図-3に示すように階差式を用いて求めることができる。つぎに、アーチと支柱を切り離し、切歛点に自己つり合い力*F_i*、*F_i*を導入する。以上により、第*i*断面の上格点に作用するx方向外荷重を*X_{ui}*、*x*方向外カネジリメントを*T_{ui}*とすれば、

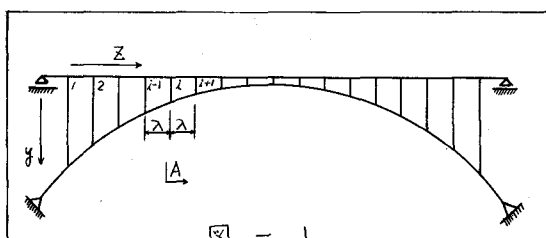


図-1

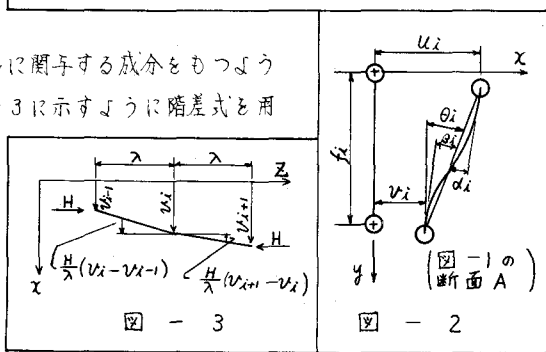


図-3

図-2

$$X_{ui} = -\frac{W_i}{g} \frac{d^2 u_i}{dt^2} + W_i (\theta_i - \alpha_i) - g_i \quad \dots \quad (a)$$

$$T_{ui} = -f_i \cdot q_i - r_i - \frac{M_i}{\lambda} (2u_i - u_{i-1} - u_{i+1}) \quad \dots \quad (b)$$

ここに、 t は時間、 g は重力の加速度である。ただし、曲げおよびねじれについての回転慣性力は無視できるものとする。

振動を単振動とみなせば $\frac{d^2 u_i}{dt^2} = -\omega^2 u_i$ (ω : 丹振動数) であり、格点死荷重はすべて等しいと仮定すれば ($W_i = W$)、式(a)は次のように変形できる。

$$X_{ui} = \frac{W}{g} \omega^2 u_i + W (\theta_i - \alpha_i) - g_i \quad \dots \quad (c)$$

一方、補剛行列の x 方向たわみの影響係数を \bar{u}_{ij} 、 α_i 方向のねじれ角の影響係数を a_{ij} とすれば、

$$u_i = \sum_{j=1}^n \bar{u}_{ij} X_j \quad \dots \quad (d), \quad \alpha_i - \theta_i = \sum_{j=1}^n a_{ij} T_{uj} \quad \dots \quad (e)$$

(a)(b)を(c)(d)に代入して全格点について示すと

$$(-I + \omega^2 \frac{W}{g} U_1) u + W U_1 \theta - W U_1 \alpha - U_1 g = 0 \quad \dots \quad (1)$$

$$\frac{A_2}{\lambda} u + \alpha + A_1 F g + A_1 R - \theta = 0 \quad \dots \quad (2)$$

ここに、 I : 単位マトリックス、 u, θ, α, g, R : それぞれ $u_i, \theta_i, \alpha_i, g_i, R_i$ の列ベクトル、
 U_1, A_1 : それぞれ \bar{u}_{ij}, a_{ij} の正方マトリックス、

F, M_1 : それぞれ f_i, M_i を対角に並べたマトリックス、 $A_2 = 2A_1 M_1 - A_3 M_2 - A_4 M_3$ 、

A_3, A_4 : A_1 の各列をそれぞれ前、後に 1 つずらし、第 n 、1 列に 0 を入れたマトリックス、

M_2, M_3 : M_1 の各要素をそれぞれ前、後に 1 つずらし、第 n 、1 要素に 0 を入れたマトリックス、

第 i 断面下格点についても同様に

$$(-I + \frac{H}{\lambda} V_2) v + V_1 g + T_1 R = 0 \quad \dots \quad (3)$$

$$-\frac{H}{\lambda} T_1 v - T_3 g - \beta + B_1 R + \theta = 0 \quad \dots \quad (4)$$

ここに、 v, β : それぞれ v_i, β_i の列ベクトル、 V_1, T_1, T_3, B_1 : それぞれ $\bar{v}_{ij}, t_{ij}, \bar{t}_{ij}, b_{ij}$ の正方マトリックス、 $\bar{v}_{ij}, t_{ij}, \bar{t}_{ij}, b_{ij}$: それぞれ α_i の x 方向荷重による x 方向たわみの・ x 方向荷重による β_i 方向ねじれ角の・ β_i 方向トルク荷重による x 方向たわみの・ β_i 方向トルク荷重による β_i 方向ねじれ角の影響係数、 $V_2 = 2V_1 - V_3 - V_4$ 、 $T_4 = 2T_3 - T_5 - T_6$ 、
 V_3, V_4 : V_1 の各列をそれぞれ前、後に 1 つずらし、第 n 、1 列に 0 を入れたマトリックス、
 T_5, T_6 : T_3 の各列をそれぞれ前、後に 1 つずらし、第 n 、1 列

に 0 を入れたマトリックス。

つぎに支柱の変形について考えると図-5 から

$$-G \alpha + \frac{1}{3} F g + \frac{1}{2} R = 0 \quad \dots \quad (5)$$

$$G \beta + \frac{1}{6} F g + \frac{1}{2} R = 0 \quad \dots \quad (6)$$

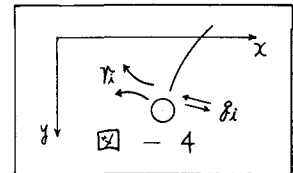


図 - 4

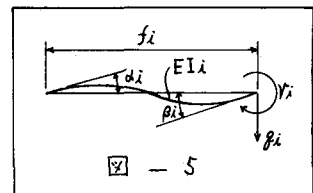


図 - 5

ここに、 $G : EI_i/f_i$ を対角に並べたマトリックス、

また、 ψ , β , θ , α , β , γ の関係は、

$$\psi = \beta + F\theta \quad \dots \quad (7)$$

①～⑦が本解法の基本式であり、変数ベクトルのうち1つを残して他をすべて消去した式の係数マトリックスから固有値 ω^2 、すなわち固有円振動数 ω が求められる。また、7個のモードベクトル ψ , β , θ , α , β , γ および θ も順次求めることができる。なお、式①において $\theta = \alpha = \beta = 0$ とおいたものは梁の横振動方程式であり、式③において $\beta = \gamma = 0$ とおけばオイラーの座屈荷重が得られる。

2. 数値計算例

前節にのべた理論を用いて電算プログラムを作成した。このうち、曲線桁の影響係数の計算はその基礎微分方程式が文献^{*1}と同一である理由で、後藤の式^{*5}を使用している。まず、本文の解式およびプログラムの照査をいねる意味で

文献^{*4}のシングルコード下路ランガー橋の諸元をデータとして数値計算を行なった。出力された1次と2次の座屈固有値および正規化した固有モードを図-6に示す。文献^{*4}には1次のみが計算されているのでこれを併記した。

図-6から本文の値と文献^{*4}の値は全く異った解析法により求められたにもかかわらず、固有値・モードとも誤差わずか数%で一致していることがわかる。なお、使用計算機は佐世保重工の HITAC 8500 (130 KB)、演算時間は 8 パネルの場合入出力を含め約 4 分である。

結び

上路・下路ランガー橋の面外固有振動および面外座屈を同一手法で解析する解析法を提案した。この解析法を用いてプログラム照査のための数値計算を行なったところ、全く別個の解法である文献^{*4}の結果と誤差数%で一致した。

ランガー橋の面外固有値は種々の要素に支配されるが、構造形式によっては従来の研究で考慮されていない要素が大きな影響力をもつことは、文献^{*4}にも指摘されている通りである。これら要素をいくつか考慮できるようにした本解法により、従来より精度のよい設計ができると思われる。

最後に、本研究に御厚意と御助言をあたえられた佐世保重工鉄構部高村次長および密村技師に謝意を表します。

参考文献

- *1 倉西“アーチ橋のねじれ座屈について”土木学会論文集 75 号,
- *2 深沢“軸圧縮力をうける円弧アーチの曲げねじれ座屈に関する研究”同 96 号,
- *3 崎山ほか“横材で補剛されたアーチの面外座屈について”同 191 号,
- *4 大坂ほか“シングルコード・ランガー橋の横倒れ座屈”三菱技報 5-6,
- *5 後藤“連続曲線箱桁の解法”土木技術 17-1